



Antimatière aux basses énergies

Pauline Comini

16 – 10 – 2017

Pour les 10 prochaines années au DPhP :



Antimatière : tests CPT, QED, gravitation

	antiproton	antihydrogène	positronium	muonium
Passé				
	$\mu_{\bar{p}}$ <i>0.8 ppm</i>	$q_{\bar{H}}$	m_{e^+}/m_{e^-}	m_{μ^+}/m_{e^-} <i>$8 \cdot 10^7$</i>
	$m_{\bar{p}}$	1S-2S	q_{e^+}/q_{e^-}	q_{μ^+}/q_{e^-}
	$q_{\bar{p}}/m_{\bar{p}}$	Transitions HF	1S-2S <i>$2 \cdot 10^9$, ...</i>	1S-2S <i>$3 \cdot 10^9$</i>
	$m_{\bar{p}}/m_{e^-}$ <i>$8 \cdot 10^{10}$</i>	$-65 < \bar{g}/g < 110$	Transitions HF	
Futur				
	Amélioration de la précision : BASE, ASACUSA	GS-HFS : ASCUSA 1S-2S: ALPHA, ATRAP Lamb shift : GBAR ?	Spectroscopie : UCL ETHZ Université de Tokyo GBAR ?	Spectroscopie : PSI
		\bar{g} : AEgIS ALPHA GBAR	\bar{g} : UCL GBAR ?	\bar{g} : PSI

Antimatière : tests CPT, QED, gravitation

	antiproton	antihydrogène	positronium	muonium
Passé				
	$\mu_{\bar{p}}$ <i>0.8 ppm</i>	$q_{\bar{H}}$	m_{e^+}/m_{e^-}	m_{μ^+}/m_{e^-} <i>$8 \cdot 10^{-7}$</i>
	$m_{\bar{p}}$	1S-2S	q_{e^+}/q_{e^-}	q_{μ^+}/q_{e^-}
	$q_{\bar{p}}/m_{\bar{p}}$	Transitions HF	1S-2S <i>$2 \cdot 10^9$, ...</i>	1S-2S <i>$3 \cdot 10^9$</i>
	$m_{\bar{p}}/m_{e^-}$ <i>$8 \cdot 10^{10}$</i>	$-65 < \bar{g}/g < 110$	Transitions HF	
Futur				
	Amélioration de la précision : BASE, ASACUSA	GS-HFS : ASCUSA 1S-2S: ALPHA, ATRAP Lamb shift : GBAR ?	Spectroscopie : UCL ETHZ Université de Tokyo GBAR ?	Spectroscopie : PSI
		\bar{g} : AEgIS ALPHA GBAR	\bar{g} : UCL GBAR ?	\bar{g} : PSI
				Antimatière + Gravité

Pour les 10 prochaines années au DPhP :

\bar{H} au μK



Source intense de positronium



\bar{H} naturellement produit à l'état $2S$

Pour les 10 prochaines années au DPhP :



Upgrade: quantum gravitational states

Ultra – low energy \hbar \rightarrow look for quantum effects

Reflection upon surfaces: Casimir-Polder potential barrier

For 1 m/s and 10 cm free fall height, non negligible !

Problem? No, can be used for measurements

Quantum gravitational states

Gravitational potential + Casimir-Polder:

\rightarrow \hbar in potential well
 \rightarrow Spectrum of discrete heights

1st excited state at 14 μ m
lifetime: ~ 0.1 s

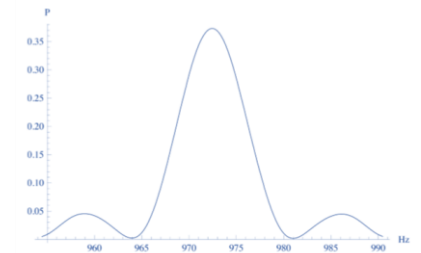
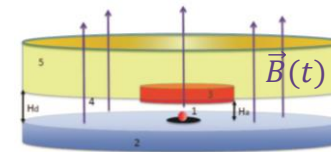
Already observed for ultra-cold neutrons

Experimental possibilities

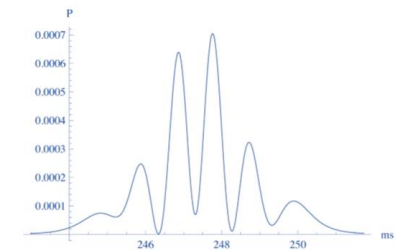
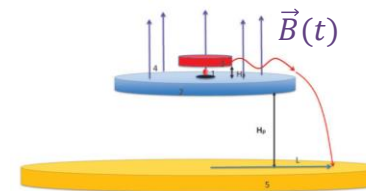
Velocity selector

Collimator with decreasing height

Spectroscopy



Interferometry



Precision: 10^{-4} for 1000 events

Pour les 10 prochaines années au DPhP :



Antihydrogen beam



Lamb shift & \bar{p} charge radius

$\Delta\nu_{\text{Lamb}} = 1057.845(9)$ MHz [Lundeen & Pipkin \(1980\)](#)

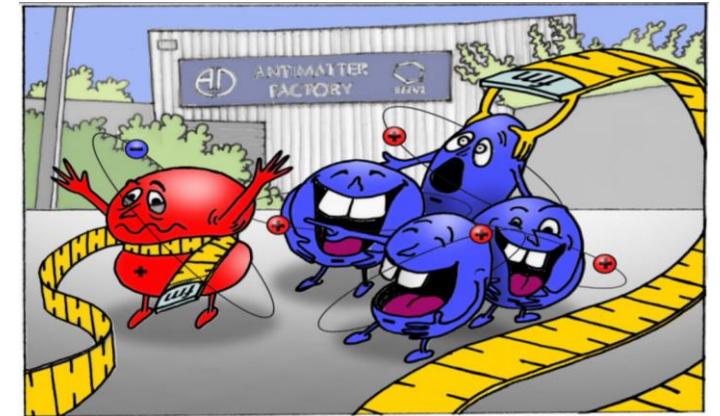
Charge proton radius \Rightarrow correction to Lamb shift $\Delta E = \frac{1}{12} \alpha^4 m_r^3 r_p^2$

Current effort to improve Lamb shift measurement in H \Rightarrow 1 % on r_p

With GBAR starting kit: $\sim 10 \bar{H}(2S)$ expected / ELENA pulse

MW transition $2S^{1/2} \rightarrow 2P^{1/2}$ + quenching & Lyman- α detection
 ~ 100 event/day on resonance

\Rightarrow Lamb shift in \bar{H} at 10^{-4}
 \bar{p} charge radius at 10 %



Pour les 10 prochaines années au DPhP :

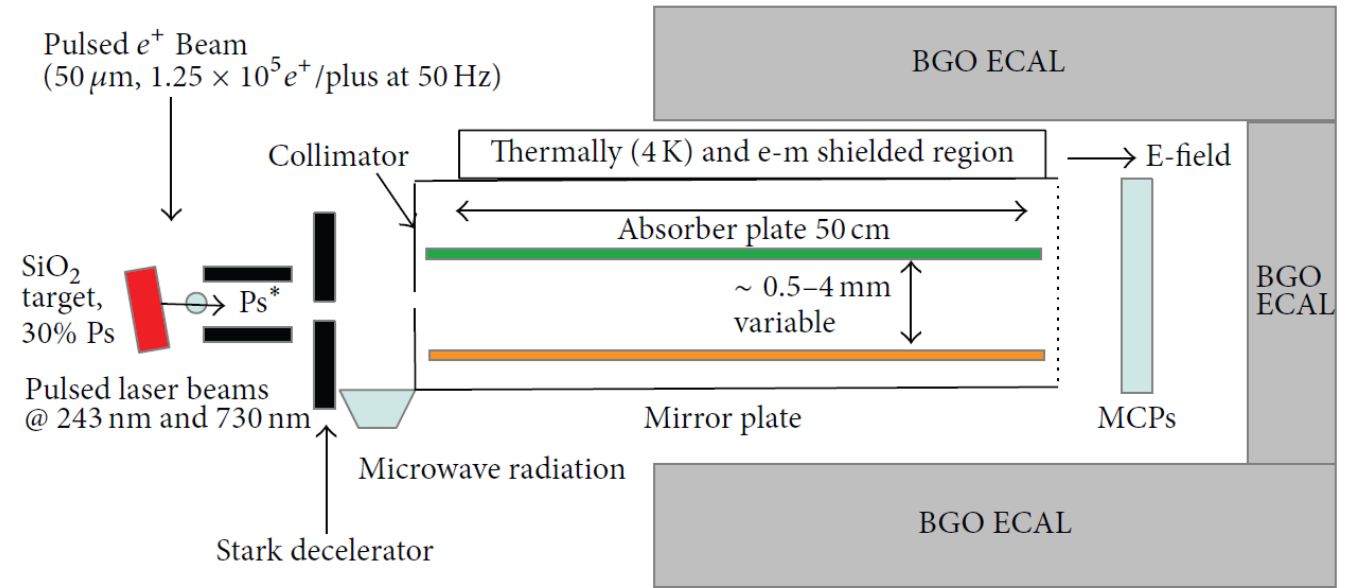


Etats quantiques gravitationnels du positronium

Mesure à 3 % de \bar{g}
en 3 mois

Meilleure source de Ps sur GBAR

A noter :
le muonium peut être efficacement produit comme le positronium avec de la silice nanoporeuse



P. Crivelli *et al.*, *Advances in High Energy Physics* 2015, 173572 (2014)

Conclusion

La physique de l'antimatière à basse énergie est en plein essor

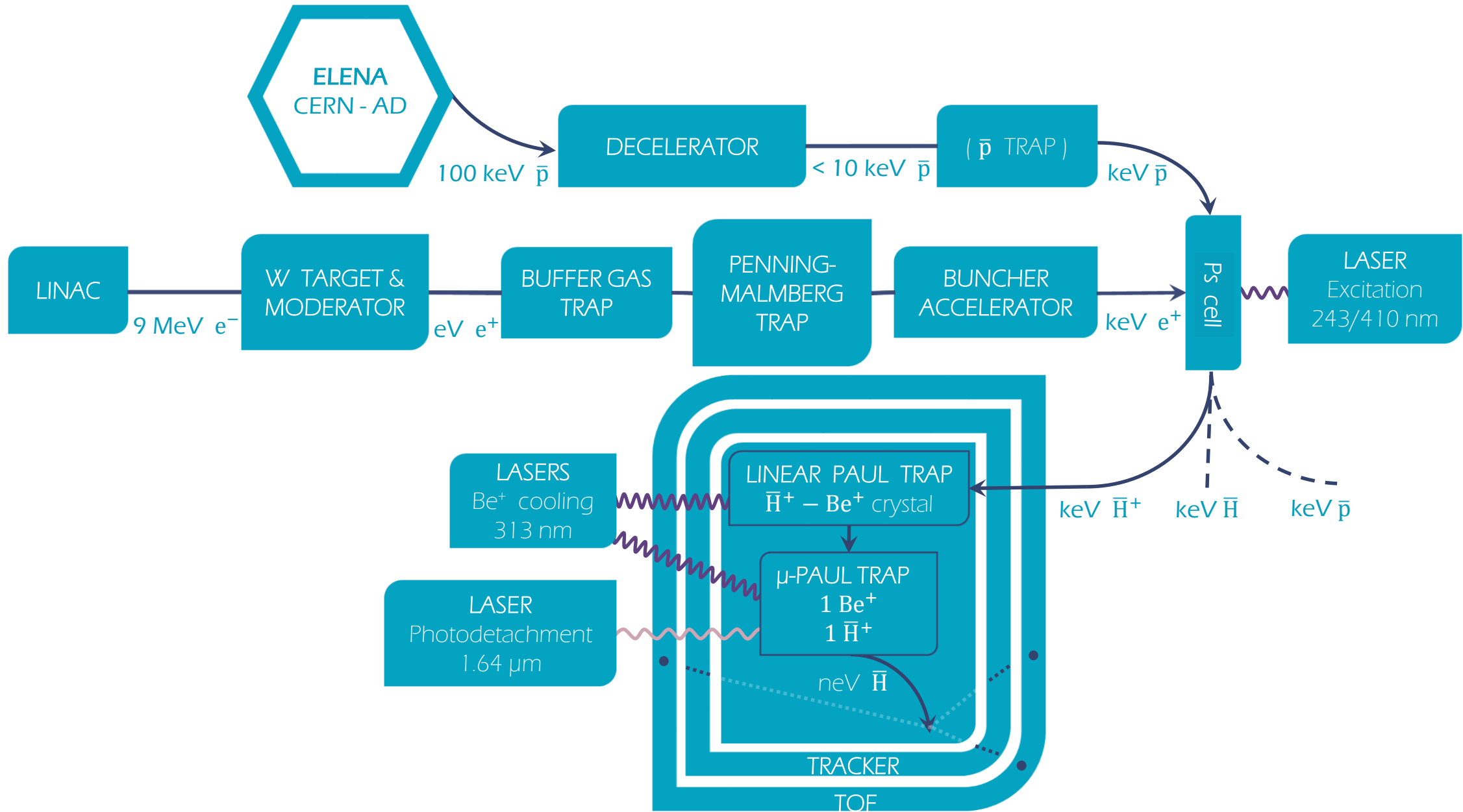
En particulier, possibilité d'une mesure directe de l'effet de la gravitation terrestre sur l'antimatière

GBAR peut atteindre une précision de 1 % sur \bar{g} (2021)

et un upgrade est déjà prévu pour atteindre au moins 0,01 % (2025 à 2030)

En parallèle, GBAR peut travailler sur la spectroscopie de \bar{H} et de Ps (2019-2021)

Antimatière aux basses énergies



Antimatière aux basses énergies

ELENA
CERN - AD

W TARGET &
MODERATOR

LASERS
Be⁺ cooling
313 nm

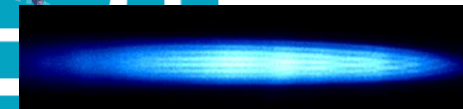
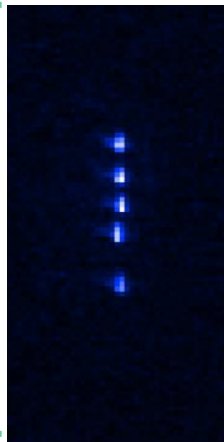
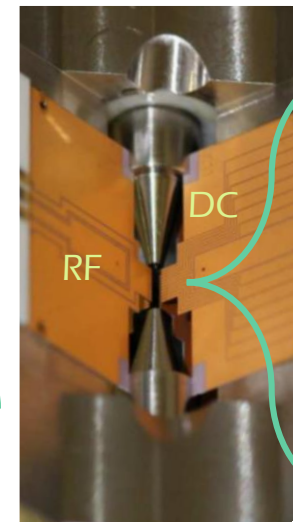
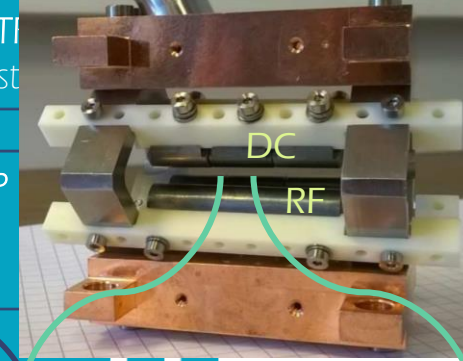
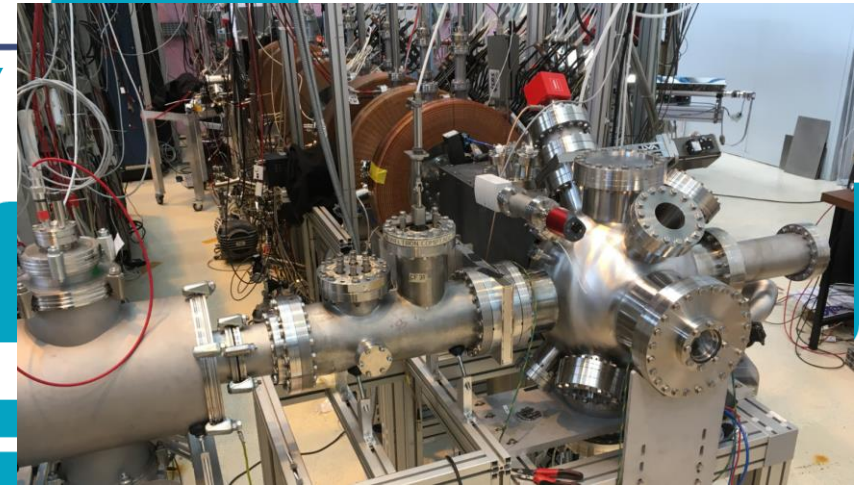
LASER
Photodetachment
1.64 μm

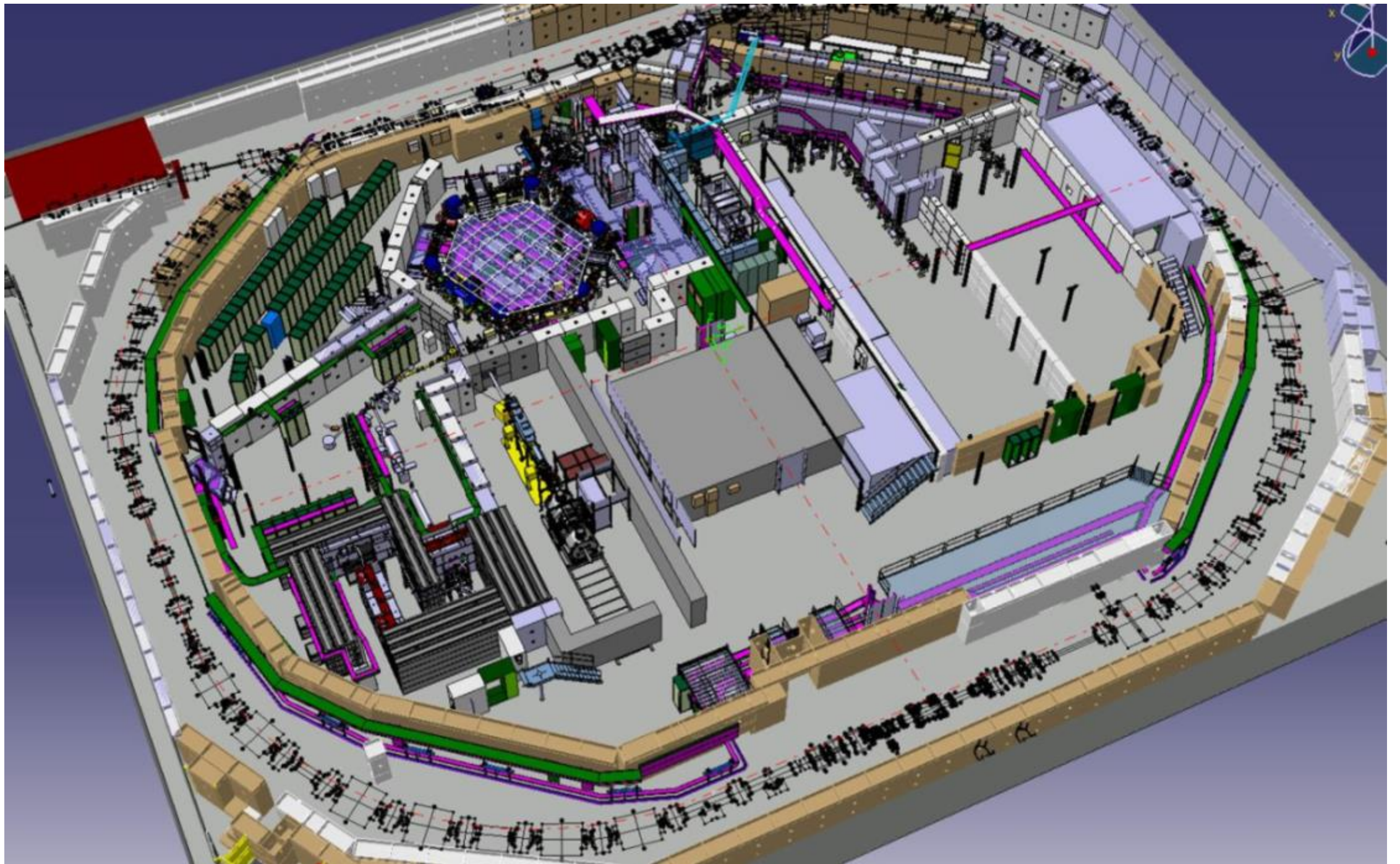
LINEAR PAUL TRAP
H⁺ - Be⁺ crystal

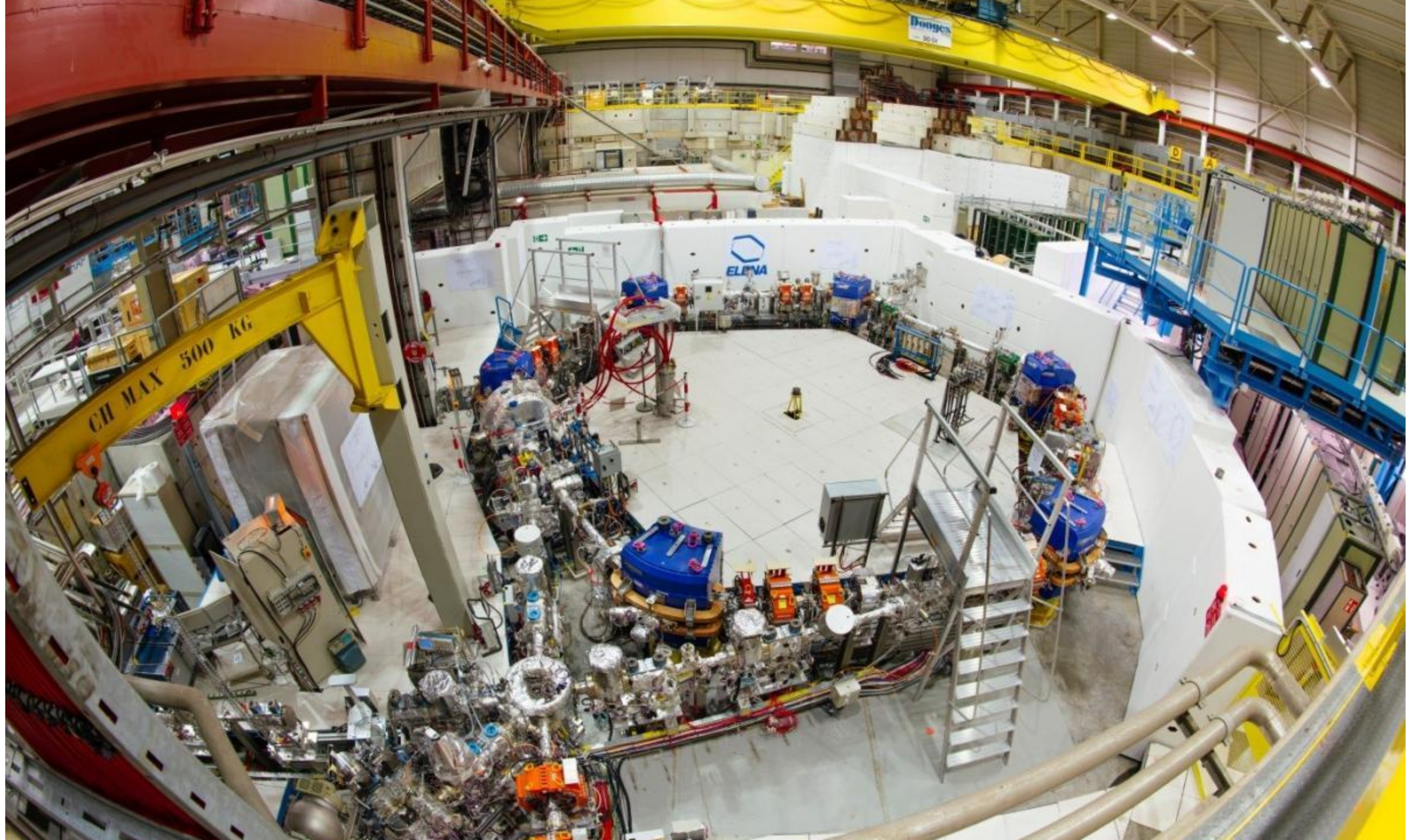
μ-PAUL TRAP
1 Be⁺
1 H⁺

neV H⁻

TRACKER
TOF







Antimatière aux basses énergies

2017

Linac commissionning
Decelerator tests
1st \bar{p}
Beam dump
Positron trap installation
Reaction chamber installation
End detectors tests
Install 1st Ps excitation laser

2018

Trap commissionning
 p/\bar{p} focussing in RC
Dense Ps cloud
1st \bar{H}
Free fall chamber
& detector production
Full remote supervision
1st \bar{H}^+ detection
Antiproton trap installation

2019 - 2020

Long shut down

Cross section
measurement
with protons or H-
Ps spectroscopy
Free fall chamber
and detectors installation
Cooling laser installation

?

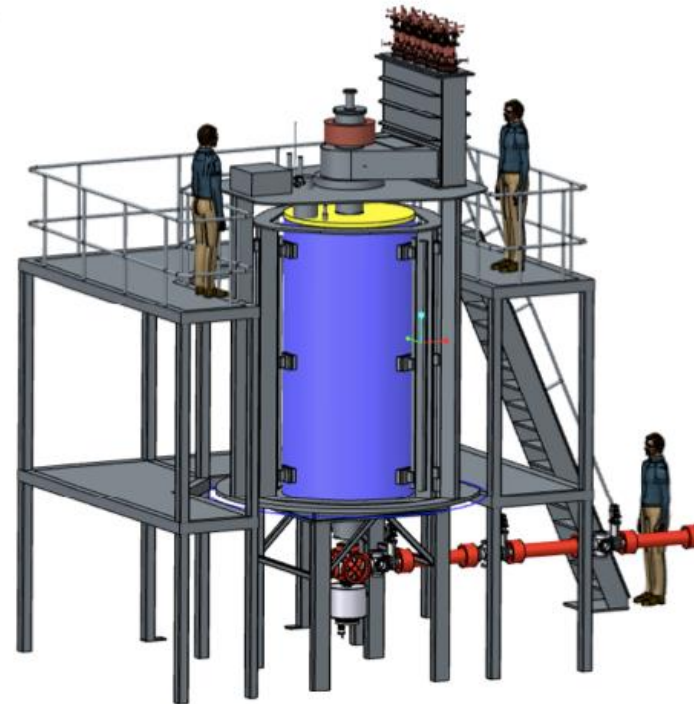
2020 and beyond

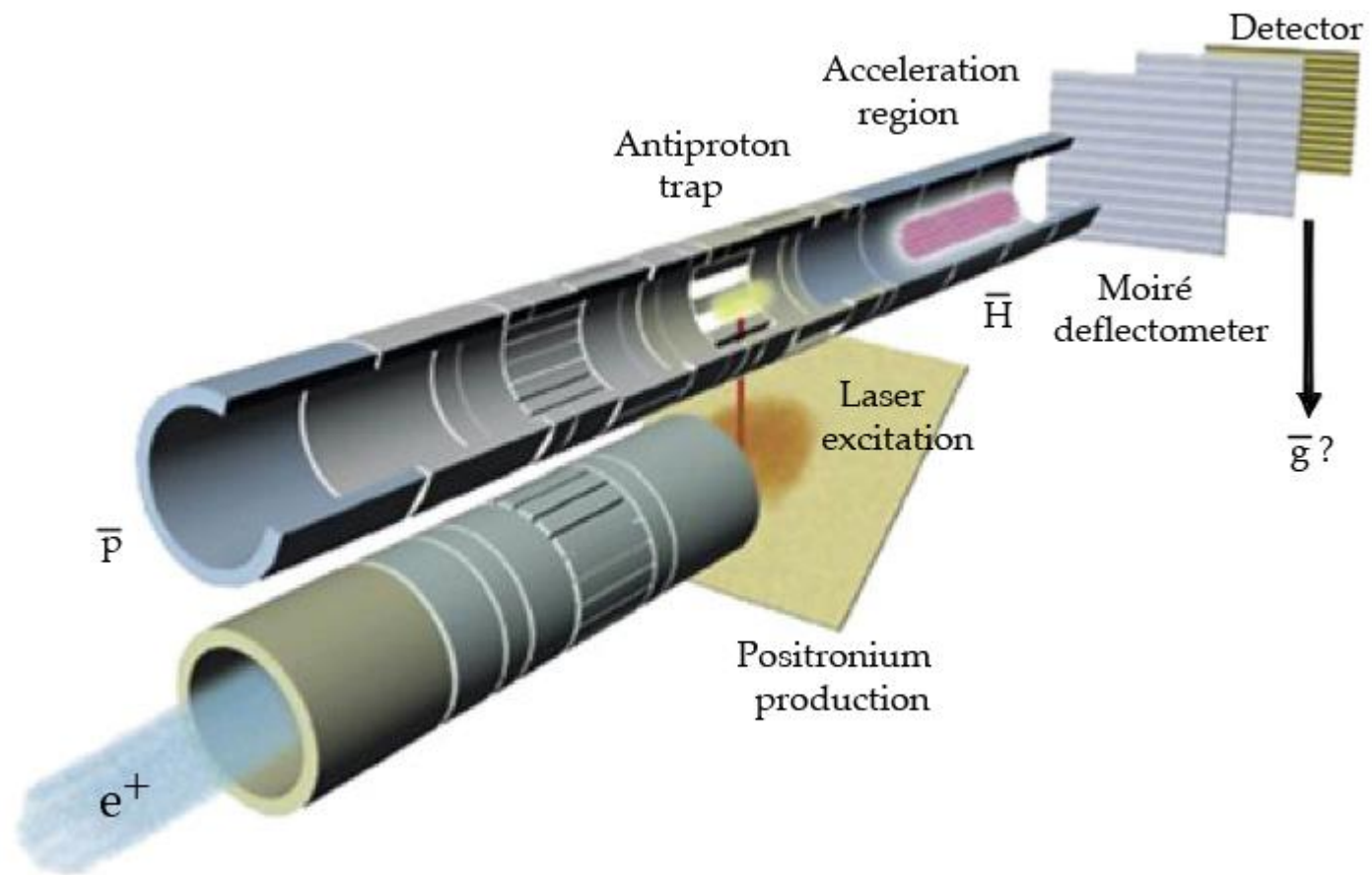
Detector calibration with p
1st trapped \bar{H}^+
1st \bar{H}^+ at mK
1st \bar{H}^+ at μ K
1st free fall of μ K \bar{H}
1st \bar{H} quantum reflection

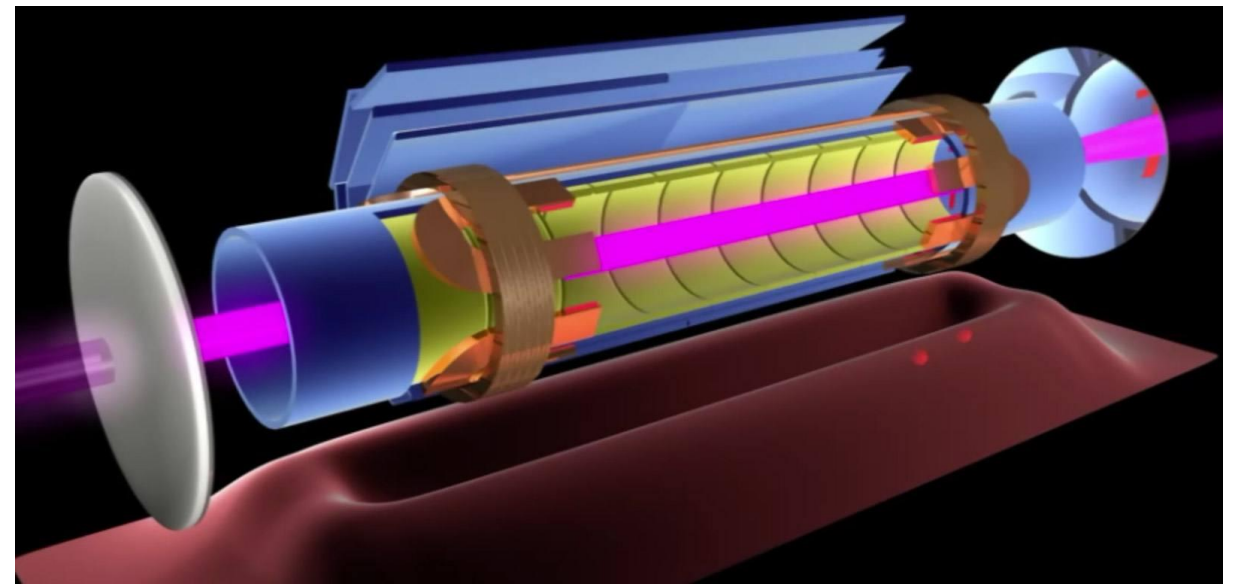


ALPHA-g: Precision gravitational measurements with antihydrogen

- ~ 2 m tall antihydrogen trap
- Release + detect falling Hbar
- Measure sign of g_{bar}
 - ~ 1 year
- Measure g_{bar} a ~ 1%
 - 4 - 5 years







Key

Laser beam path	Liquid helium volume
Ultra High Vacuum (UHV) space	Magnets
UHV space, heat-shielded	Electrodes (under UHV)
Outer vacuum chamber (OVC)	Silicon vertex detector
OVC, heat-shielded	Physical support

